

بررسی رفتار رئولوژی دوغابهای معدنی غلیظ شده و همگن

* بهنام پیروز^۱، محمدرضا کاویانپور^{۲*}

۱- دانشجوی دوره دکترای مهندسی آب- هیدرولیک، دانشکده مهندسی عمران، دانشگاه صنعتی خواجه نصیر الدین طوسی

۲- استادیار دانشکده مهندسی عمران، دانشگاه صنعتی خواجه نصیر الدین طوسی

* تهران، صندوق پستی ۱۵۸۷۵ - ۴۴۱۶

چکیده- در این مقاله، که بخشی از پژوهه تحقیقاتی انجام شده در خصوص دوغابها و پسابهای معدنی است، به بررسی رفتار رئولوژی دوغابهای غلیظ شده همگن پرداخته می‌شود. شناخت کامل رفتار رئولوژی سیال، نقش اساسی و کلیدی در بررسی حرکت سیال در جریانهای روباز یا تحت فشار دارد. پارامترهای اساسی جریان، نظریه عدد فرود و عدد رینولدز جریان، بیانگر خصوصیات و ویژگیهای هیدرولیکی جریان سیال می‌باشند که به طور مستقیم یا غیرمستقیم تابعی از رئولوژی سیال بوده و بدون در دست داشتن رفتار رئولوژی سیال، محاسبه این پارامترها و تحلیل جریان میسر نیست. به منظور بررسی رفتار رئولوژی این‌گونه سیالات، نمونه‌های متعددی از دوغابهای حاصل از فرآیند معدنکاری در معادن عمده مس کشور، شامل معدن مس سرچشم، معدن مس سونگون و معدن مس میدوک و همچنین یک معدن طلا در شهر Peak ایالت NSW کشور استرالیا با غلظتهاي مختلف تهیه شده که رفتار رئولوژی آنها با استفاده از رئومتر در آزمایشگاه به دست آمده و پارامترهای تأثیرگذار بر رفتار رئولوژی این دوغابها بررسی شده است. غلظتهاي در نظر گرفته شده برای دوغابها با توجه به محدوده معمول غلظت دوغاب در معادن، بین ۰٪ تا ۷۰٪ (درصد وزنی جامد)، انتخاب شده است. ذرات جامد موجود در این دوغابها بر حسب نوع خردایش (Crushing) به کار رفته در خط تولید واحد معدنی دارای قطر متوسط $47\mu\text{m}$ تا $11\mu\text{m}$ می‌باشند که منحنی دانه‌بندی این ذرات برای هر نمونه توسط دستگاه اندازه‌گیری قطر (D_{50}) (Lazer Sizer) بدست آمده است. تمامی آزمایشها در آزمایشگاه رئولوژی و فرآوری مواد دانشگاه (RMIT) واقع در شهر ملبورن استرالیا انجام شده است. نتایج حاصل در تمامی موارد مؤید رفتار غیر نیوتینی این دوغابها در برابر اعمال تنفس برشی است. مدل‌های مختلف ارائه شده از طرف محققان برای رفتار غیر نیوتینی سیالات بررسی شده و منطبق‌ترین مدل با رفتار غیر نیوتینی دوغابهای معدنی تعیین شده است.

کلید واژگان: رئولوژی، دوغاب معدنی، سیال غیر نیوتینی، لزجت پلاستیک، تنفس برشی جاری شدن.

(در مهندسی رسوب) است. در مهندسی رسوب نیز بجز

در موارد خاص نظریه جریانهای غلیظ رسوبات چسبنده^۱ معمولاً غلظت مواد جامد معلق در آب به قدری کم است که بر احتی از تأثیر مواد جامد بر خصوصیات بنیادی رفتار

۱- مقدمه

در مهندسی هیدرولیک معمولاً با سیالات تک‌فاز نیوتینی و در رشتہ عمران عموماً با آب سروکار داریم و در مواردی که سخن از سیالات دوفاز به میان می‌آید، فاز دوم، هوا (در مباحث هوادهی جریان) یا ذرات جامد معلق در آب

باشند، جریان همگن سیال دو فازی به وقوع می‌بینند. دوغاب حاصل از کارخانجات کانه‌آرایی^۳ و تغلیظ سنگ معدن که موضوع این تحقیق است، جزو این نوع دوغابها به حساب می‌آیند. در چنین دوغابهایی ذرات جامد بسیار ریز بوده و درصد وزنی جامد در دوغاب، بالا و حدود ۵۰٪ تا ۶۰٪ است. هنگامی که درصد جامد در دوغاب بالا باشد (معمولًا بالای ۴۰٪) لزجت سیال افزایش یافته و سیال رفتار غیرنیوتی از خود نشان می‌دهد. محدوده دانه‌بندی ذرات جامد برای بوجود آوردن سیال همگن معمولًا بین ۴۰ تا ۷۰ میکرون است که به چگالی ذرات جامد بستگی دارد. چنین سیالاتی اگرچه از دو فاز مجزا تشکیل شده‌اند، اما رفتار سیالات تکفاز را نشان می‌دهند. انواع جریان سیالات را می‌توان مطابق نمودار شکل ۱ تقسیم‌بندی کرد. مسیری که بر روی نمودار با پیکانهای پررنگ‌تر مشخص شده، بیانگر نوع رفتار سیالاتی است که در این تحقیق به آنها پرداخته شده است.

Sofra and Boger⁴ و همچنین Abulnaga⁵ در سال ۲۰۰۲ در جمع‌بندی مجموعه کارهای تحقیقاتی گذشته (Cross 1965, Heywood 1991, Metzner and Whitlock 1958, Wilson 1991) رئولوژی دوغابها، مدل‌های مختلف ارائه شده برای دوغابهای صنعتی (اعم از همگن و ناهمگن) را به دو دسته سیالات غیر نیوتی مستقل از زمان^۶ و سیالات غیرنیوتی وابسته به زمان^۷ تقسیم کرده‌اند. سیالات غیرنیوتی مستقل از زمان، که بخش عمده‌ای از دوغابهای صنعتی از این دسته‌اند، برای شروع به حرکت و جاری شدن به اعمال مقدار مشخصی تنش نیاز دارند. از میان این دوغابها می‌توان به مخلوط بتن اشاره کرد که تا زاویه شوت تخلیه کننده آن از مقدار مشخصی بیشتر نشود، جاری نخواهد شد. این سیالات تنش تسليم^۸ مشخصی دارند که برای جاری شدن باید بر آن غلبه شود.

سیال صرفنظر می‌شود یا با در نظر گرفتن ضرایبی اصلاحی، رفتار رئولوژی آب برای حرکت سیال و انتقال رسوبات تعیین داده می‌شود (Simons, Senturk 1992). دوغابهای معدنی غلیظ شده، عموماً مخلوط همگنی از فاز مایع (آب) و فاز جامد (سنگدانه‌های بسیار ریز خردایش شده^۹ - عمدتاً ذرات کوچکتر از ۷۵ میکرون) می‌باشند. چنین دوغابهایی که عموماً با هدف صرف‌جویی در مصرف آب تا حد امکان غلیظ شده‌اند، کاربرد بسیار وسیعی در صنایع معدنی بویژه در کارخانه‌های پرعيارکنی^{۱۰} دارند. از این دوغابها عمدتاً به منظور حمل و انتقال مواد جامد سنگ معدن از معدن به واحد تولیدی، انتقال و گردش مواد جامد در خط تولید کارخانه و همچنین انتقال پسماندهای جامد به محل ذخیره و انباشت توسط کانالهای روباز یا خطوط لوله استفاده می‌شود. کارخانه‌های پرعيارکنی معمولًا (بسته به ظرفیت معدن) میلیونها تن (متر مکعب) از این دوغابها را به عنوان پساب تولید می‌کنند. انتقال، انباشت و ذخیره‌سازی، تهشیین و کنترل آثار زیست محیطی این دوغابها همواره از مشکلات و مسائل اساسی معدن و پرتوهای معدنی است. برای مثال فقط در کشور آفریقای جنوبی در هر سال ۲۵۰ میلیون تن از این باطله‌های معدنی تولید می‌شود، به طوری که تا سال ۱۹۹۲ سطحی معادل ۱۵۰ کیلومترمربع در این کشور توسط ۵۰۰۰ میلیون تن از باطله‌های معدنی پوشیده شده است. فقط در سال ۱۹۷۵ در کشور امریکا، صنایع معدنی بیش از ۱۸۰۰ میلیون تن مواد زائد معدنی تولید کرده‌اند (Blight 1994). در ایران تا سال ۲۰۱۰ میلادی، ظرفیت تولید زباله‌های معدنی فقط در معدن مس کشور به بیش از ۵۰ میلیون تن (جامد) در سال خواهد رسید.

در دوغابهای با غلظت بالا، هنگامی که ذرات جامد بسیار ریز بوده و به طور یکنواخت در میان فاز مایع پخش شده

3. Mineral Processing

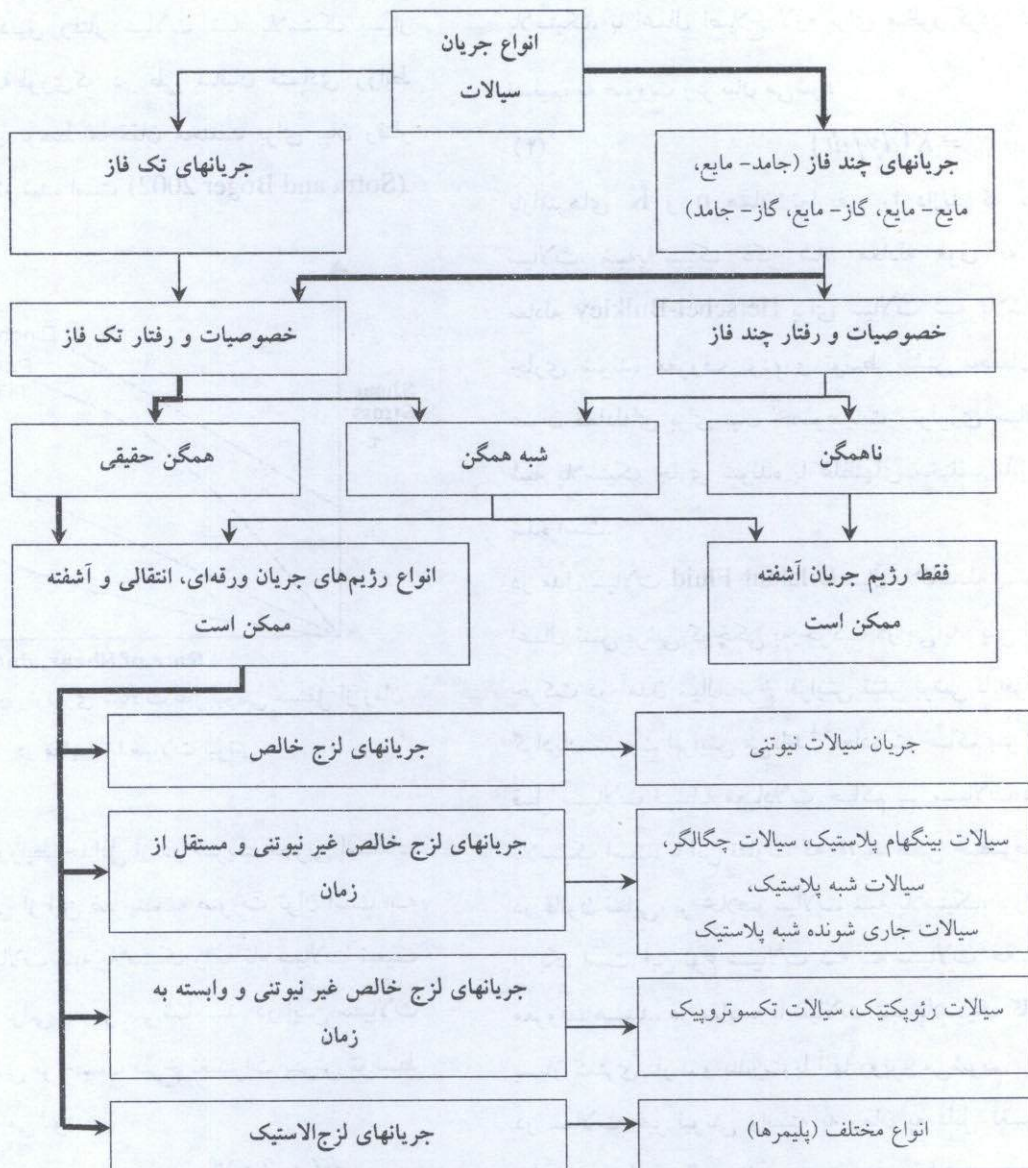
4. Time-Independent Non-Newtonian Mixtures

5. Time-Dependent Non-Newtonian Mixtures

6. Yield Stress

1. Crushed

2. Concentrator



شکل ۱ تقسیم بندی انواع جریان سیالات (Govier and Aziz 1972)

نرخ برش خطی بوده و مطابق رابطه زیر تعریف می‌شود:

$$\tau_w - \tau_0 = \eta \frac{dy}{dt} \quad (2)$$

که در آن τ_w تنش برشی جدار، τ_0 تنش جاری شدن و η لزجت غیر نیوتی یا ضریب صلبیت است. مدل سیالات شبے پلاستیک با دو مشخصه شناخته می‌شوند: سیال بالاصله پس از اعمال تنش برشی کوچکی به حرکت در می‌آید و پس از به حرکت در آمدن، نرخ افزایش تنش برشی با افزایش گردیان سرعت کاهش

این سیالات به انواع مختلفی مانند Bingham Plastics

Dilatant ,Yeild Pseudoplastics Pseudoplastics

Fluid تقسیم می‌شوند. رابطه بین تنش برشی جدار^۱

نرخ برش^۲ برای این سیالات مشابه شکل ۲ است.

در مدل Bingham Plastics پیش از آغاز حرکت لازم

است بر تنش برشی اولیه‌ای معادل τ_0 غلبه شود تا سیال

به حرکت در آید. از آن پس تغییرات تنش برشی نسبت به

1. Wall Shear Stress
2. Shear Rate

پلاستیک، با اعمال اصلاح لازم برای منظور کردن تنش تسیلیم، به صورت زیر بیان می‌شود:

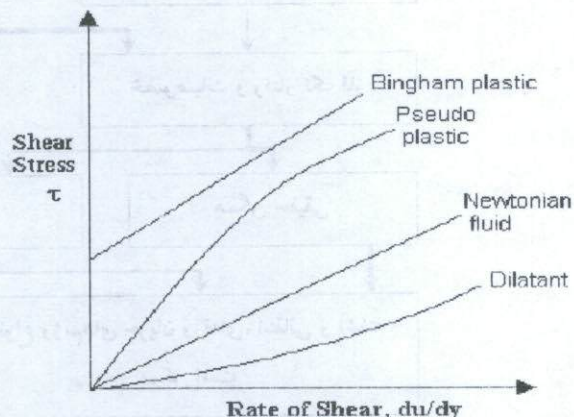
$$\tau_w - \tau_0 = K(d\gamma/dt)^n \quad (4)$$

پارامترهای K و n همان تعاریفی را دارند که برای سیالات شبه‌پلاستیک ذکر شد. معادله فوق به نام معادله Herschel-Bulkley برای سیالات شبه‌پلاستیک جاری شونده معروف بوده و توسط بیشتر محققان به عنوان معادله‌ای برای بیان خصوصیات رئولوژی سیالات شبه‌پلاستیک جاری شونده با غلط‌های مختلف پذیرفته شده است.

در مدل سیالات Dilatant Fluid سیال بلا فاصله پس از اعمال تنش برشی کوچکی به حرکت در می‌آید. پس از به حرکت در آمدن سیال، نرخ افزایش تنش برشی با افزایش گرادیان سرعت افزایش می‌یابد^۱. معادلات حاکم بر این قبیل سیالات مشابه معادلات حاکم بر سیالات شبه‌پلاستیک است، با این تفاوت که n شاخص خصوصیت در قانون نمایی، بر خلاف سیالات شبه‌پلاستیک، بزرگتر از یک است. این نوع سیالات که به سیالات چگالگر معروف هستند، در مقایسه با سیالات شبه‌پلاستیک کاربرد بسیار کمتری دارند و بندرت با آنها روپرتو می‌شوند.

در سیالات غیر نیوتینی وابسته به زمان به دلیل تغییر در ساختار داخلی سیال و تغییر جهت گیری ذرات در هر نرخ برش معین، مقدار تنش برشی سیال وابسته به زمان است، تا ذرات جامد فرصت بیابند تا با جریان هم‌جهت شوند. به بیان دیگر مدتی طول می‌کشد تا تنش برشی پدید آمده در سیال، خود را با مقدار تغییر تنش برشی تطبیق دهد. در سال ۱۹۷۶ Hansford و همکاران به بررسی رفتار رئولوژی دوغابهای معدن طلای آفریقای جنوبی و تأثیر غلظت، pH و درجه حرارت بر رفتار این نوع دوغابها پرداختند. آنها اعلام کردند که بین لزجت دوغاب و درصد جامد آن رابطه‌ای نمایی برقرار است و تمامی

می‌یابد^۲. بیان دقیق رفتار سیالات شبه‌پلاستیک بسیار دشوار است. به طوری که در طی سالیان متمادی روابط تجربی متعددی توسط محققان مختلف برای بیان رفتار این سیالات ارائه شده است (Sofra and Boger 2002).



شکل ۲ نمودار رئولوژی سیالات غیر نیوتینی مستقل از زمان در مقایسه با سیالات نیوتینی

در تمامی این روابط حداقل از دو ضریب تجربی استفاده می‌شود که یکی از این ضرایب به صورت توان است. به همین علت سیالات شبه‌پلاستیک را به نام سیالات تبعیت کننده از قانون توانی^۳ نیز می‌شناسند. در این سیالات رابطه تنش برشی بر حسب نرخ تغییرات برش توسط رابطه ذیل بیان می‌شود:

$$\tau_w = K(d\gamma/dt)^n \quad (3)$$

که در آن K بر حسب Pa.s^n ضریب انطباق^۴ در قانون نمایی و n شاخص خصوصیت در قانون نمایی است. در مدل Yield Pesudoplastic Fluid برای شروع حرکت لازم است بر مقدار مشخصی از تنش برشی (تش تسیلیم) در شرایطی که نرخ تغییرات کرنش برشی صفر است، غلبه شود و پس از آن نرخ افزایش تنش برشی با افزایش گرادیان سرعت کاهش می‌یابد. رابطه بین تنش برشی و نرخ برش در این سیالات مشابه سیالات شبه

1. Shear Thinning
2. Power-Law Fluid
3. Consistency

کرنش برشی در این دوغابها خطی نبوده و رفتار رئولوژی آنها بسیار پیچیده‌تر است. ایشان نتیجه‌گیری کرده‌اند که هرچه میزان آب موجود در دوغاب بیشتر شود، مقدار تنش تسلیم و لزجت دوغاب کمتر می‌شود.

Sofra and Boger در سال ۲۰۰۰ ضمن بررسی رفتار رئولوژی دوغابهای معادن آلومینیوم، دوغاب تیتانیم^۳ و دوغاب لاپونیت^۴ مدل‌های مختلفی را برای رفتار این دوغابها و همچنین عوامل تأثیرگذار بر این رفتار ارائه کردند. آنان رفتار دوغابهای آلومینیوم را مطابق بر مدل شبیه پلاستیک جاری شونده و رفتار دوغابهای تیتانیم و لاپونیت را نیز از نوع رقیق شونده با برش گزارش کرده‌اند. با این تفاوت که رفتار دوغاب تیتانیوم مستقل از زمان بوده و رفتار دوغاب لاپونیت به شدت وابسته به زمان است، به‌طوری‌که تنش برشی سیال با گذشت زمان و برای نرخ ثابت کرنش برشی کاهش می‌یابد. در تمامی این دوغابها با افزایش غلظت دوغاب، تنش تسلیم سیال به صورت نمایی افزایش می‌یابد.

Sofra and Boger و همچنین Abulnaga در سال ۲۰۰۲ نیز که در مقدمه به آنها اشاره شد، جزو کارهای تحقیقاتی جدیدی است که در سالهای اخیر در خصوص دوغابهای صنعتی انجام شده است.

نکته قابل توجه در خصوص کارهای تحقیقاتی انجام شده در گذشته این است که اگرچه تأثیر عوامل مختلف نظری غلظت دوغاب و اندازه ذرات بر رفتار رئولوژی دوغابها هر از چند گاهی بررسی شده، اما اولاً بسیاری از این تحقیقات مربوط به دوغابهای رقیق (ناهمگن) بوده و اصولاً دوغابهای غلظی شده و همگن- به دلیل اینکه غلظی‌کننده‌های دوغاب تا دهه اخیر از فناوری لازم جهت غلظی نمودن دوغابهای معدنی برخوردار نبوده‌اند- چندان مورد توجه قرار نگرفته‌اند. ثانیاً نتایج اعلام شده توسط محققان مختلف در خصوص رفتار این قبیل دوغابها، ضد

دوغابهای مورد آزمایش در محدوده غلظتهاي ۱۷٪ تا ۴۳٪ (حجمی) رفتار رقیق شونده با برش^۱ از خود نشان می‌دهند. نتایج مشابهی نیز در این خصوص توسط Beazley و Marsden (1972) و Hansford و همکاران همچنین اعلام کرده‌اند که اگرچه رابطه مستقیمی بین قطر ذرات جامد موجود در دوغاب و لزجت دوغاب قابل تشخیص است، اما این یک رابطه ساده نبوده و بسیار پیچیده است، به‌طوری‌که محققان مختلف، نتایج متفاوت و متضادی را در این زمینه گزارش کرده‌اند (Levy 1975).

Beazley در سال ۱۹۷۲ رفتار غلظی شونده با برش را برای دوغابهای با غلظت بیش از ۴۶٪ (حجمی) اعلام کرده است. این در حالی است که Clarke (1967) رفتار غلظی شونده با برش را برای تمام غلظتهاي مختلف دوغاب قابل تعییم می‌داند.

Boger ۱۹۷۸ و همکاران به بررسی خواص رئولوژی دوغابهای حاصل از معادن آلومینیوم^۲ و رفتار این دوغابها در حین حرکت پرداخته‌اند. آنها مدل شبیه پلاستیک یا رفتار رقیق شونده با برش را برای این دوغابها تا غلظتهاي ۲۶٪ (وزنی) پیشنهاد کرده‌اند.

Blight and Bentel ۱۹۸۳ و Blight در سال ۱۹۸۸ و ۱۹۹۴ ارتباط بین رفتار رئولوژی دوغابهای حاصل از معادن الماس و پلاتین و مقدار آب موجود در دوغاب را بررسی کرdenد. ایشان تاکید کرده‌اند که آگاهی کامل از رفتار رئولوژی دوغابها و عوامل تأثیرگذار بر لزجت دوغاب، نقش اساسی و مهمی در طراحی خطوط لوله و کانالهای روباز برای انتقال دوغابهای معدنی و همچنین پیش‌بینی و برآورد گنجایش مخازن انباست باطله‌های معدنی دارد. ایشان همچنین عنوان کرده‌اند که اگرچه رفتار رئولوژی دوغابهای مورد آزمایش را می‌توان با استفاده از مدل خطی بینگهام تقریب زد، اما تغییرات تنش برشی و

3. Titanium Dioxide
4. Laponite

1. Shear Thinning
2. Red Mud

محدوده وسیعی از تغییرات کانی‌شناسی، غلظت و دانه‌بندی را شامل می‌شوند. به‌منظور بررسی تاثیر میزراوژی کانی بر رفتار رئولوژی دوغاب، دو نمونه مختلف از دو نوع سنگ معدن Hypogene و Supergene از معدن سونگون انتخاب شده است. نمونه Supergene مربوط به بخش فوقانی معدن است که عموماً هوازده و دارای مواد ریزدانه چسبنده (رس) بیشتری است. تاثیر دانه‌بندی ذرات جامد دوغاب بر رفتار رئولوژی آنها نیز با انتخاب دو نوع دانه‌بندی مختلف برای هر یک از نمونه‌های معدن سونگون، بررسی شده است. تمامی آزمایشهای رئولوژی و دانه‌بندی در مرکز رئولوژی و فراوری مواد انسنتیتو تکنولوژی سلطنتی ملبورن استرالیا (RMIT) انجام شده است.

برای آزمایشهای رئولوژی دوغابها از دستگاه رئومتر استوانه دوران^۱ مدل 155 Contraves Rhomat استفاده شده و منحنی دانه‌بندی هر نمونه از دوغاب توسط دستگاه اندازه‌گیری قطر تعیین شده است. منحنی دانه‌بندی نمونه‌ها در شکل ۳ ملاحظه می‌شود. رئوگرامهای حاصل از آزمایشهای رئولوژی برای هر یک از نمونه‌ها در شکلهای ۴ تا ۱۰ آورده شده است.

با استفاده از رئوگرامهای حاصل، تنش برشی تسلیم سیال (تشن برشی که پس از آن اولین تغییر شکلهای برشی در سیال ظاهر می‌شود) و همچنین لزجت پلاستیک سیال-که در واقع همان شب بخش خطی رئوگرامها (با فرض رفتار خطی بینگهام در تغییر شکلهای بزرگ) است- به‌دست آمده و در جدول ۱ درج شده است.

همانطورکه در شکلهای ۵ تا ۱۰ ملاحظه می‌شود، شکل کلی تمامی رئوگرامها (حتی در غلظتهای بالای دوغاب) به صورت یک تنش برشی اولیه برای جاری شدن سیال و سپس ادامه یافتن رئوگرام به صورت سهمی است که بیانگر تبعیت رفتار این دوغابها از مدل Herschel-Buckley برای سیالات شبیه پلاستیک جاری

و نقیض و گاهی کاملاً متضاد است، به‌طوری‌که برای مثال Clarke (1967) و Beazley (1972) رفتار غلیظ‌شونده با برش را برای این دوغابها اعلام کردند در حالی که Hansford و همکاران در سال ۱۹۷۶ Blight and Bentel (1983) رفتار رقیق شونده با برش را برای تمام غلظتهای مختلف دوغاب قابل تعمیم می‌دانند. بنابر دلایل ذکر شده، رفتار رئولوژی دوغابهای غلیظ شده و نقش عوامل تأثیر گذار بر رفتار این دوغابها، بحث نسبتاً جدیدی محسوب می‌شود و تحقیقات در این زمینه در سراسر دنیا ادامه دارد. در این تحقیق با توجه به کمبود اطلاعات در باره رفتار دوغابهای غلیظ شده و همچنین با در نظر داشتن اختلاف نظرهای موجود بین نتایج حاصل از کارهای انجام شده تا کنون، به بررسی جامع رفتار دوغابهای غلیظ شده حاصل از فراوری مسن پرداخته شده است، به‌طوری‌که محدوده وسیعی از غلظت، دانه‌بندی و نوع کانی و تأثیر آنها بر رفتار رئولوژی دوغابها مد نظر قرار گرفته است. تحقیقی از این دست در نوع خود کم نظری بوده و نتایج حاصل می‌تواند اطلاعات بسیار مفیدی را در اختیار طراحان سیستمهای انتقال دوغابهای صنعتی قرار دهد.

۲- آزمایشهای انجام شده و نتایج

به‌منظور بررسی رفتار رئولوژی دوغابهای معدنی، ۳۴ نمونه مختلف از دوغابهای حاصل از سه معدن عمده مسن (معدن سرچشم، معدن میدوک و معدن سونگون) و همچنین یک معدن طلا در ایالت NSW استرالیا به شرح جدول ۱ تهیه شد. معادن مسن و طلا از نظر کانی‌شناسی بسیار شبیه هستند، به‌طوری‌که تقریباً در تمامی معادن طلا، مسن نیز استحصال می‌شود و در بسیاری از معادن مسن (نظیر معدن مسن سرچشم) طلا نیز به عنوان یک محصول فرعی استحصال می‌شود. انتخاب نمونه دوغاب معدن طلای کشور استرالیا نیز به همین علت انجام شده است. همانطور که ملاحظه می‌شود، نمونه‌های تهیه شده،

1. Bob and Cup Rheometer

ملاحظه می‌شود رفتار دوغابها حتی در غلظتهاي بالاي
۶۵٪ به شكل سهمي است.

همچنین، همانطور که ملاحظه می‌شود بر خلاف آنچه
Clarke (1967) و Beazley (1978) عنوان کردند
رفتار غلظي شونده با برش برای هيج يك از دوغابهاي
مورد آزمایش ملاحظه نمی‌شود. به عنوان نمونه برآيش
مدل Herschel-Buckley برای رئوگرامهاي مربوط به
دوغاب معدن طلای Peak در شکل ۴ مشاهده می‌شود.
پارامترهاي اين مدل برای غلظتهاي مختلف دوغابها در
جدول ۱ آورده شده است.

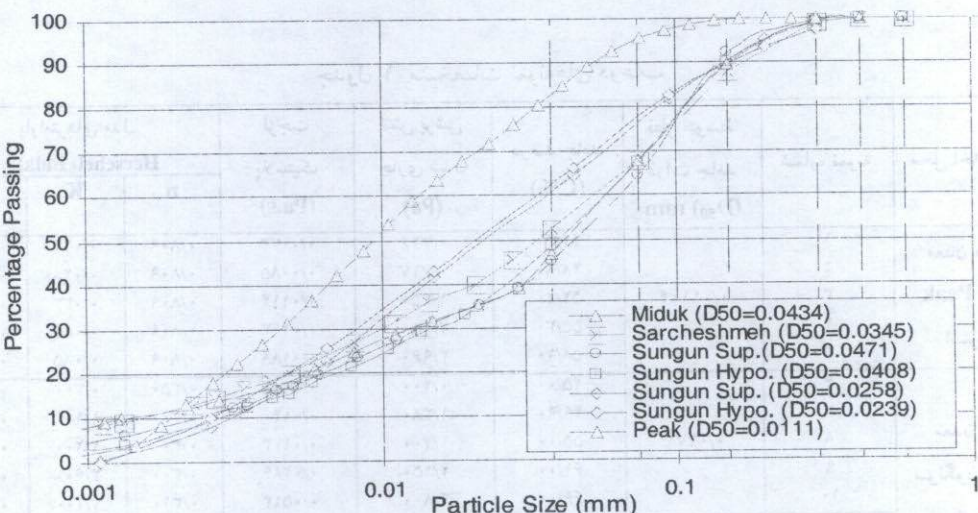
شونده، است. البته در تغيير شكلهاي (نرخ كرنشهائي)
بزرگ (بالاي^{-۱} ۱۰۰^۵) رفتار اين دوغابها (در تمام
غلظتهاي دوغاب) بخوبی با مدل خطی پلاستيك بینگهام
قابل تخمين است. اين رویه حتی در غلظتهاي بالاي
دوغاب (بالاي ۶۵٪) نيز مشاهده می‌شود به طوری که تا
نرخ برش حدود^{-۱} ۱۰۰^۵، تغييرات تنش برشی در تمامي
دوغابهاي مورد آزمایش به شكل سهمي بوده و رفتار
دوغاب بر مدل پلاستيك بینگهام منطبق نيست. اين
موضوع در شکل ۱۱ که تصویر بزرگنمایي شده بخش
ابتدايی شکل ۵ است، بخوبی مشخص است. همانطور که

جدول ۱ مشخصات نمونه‌های دوغاب

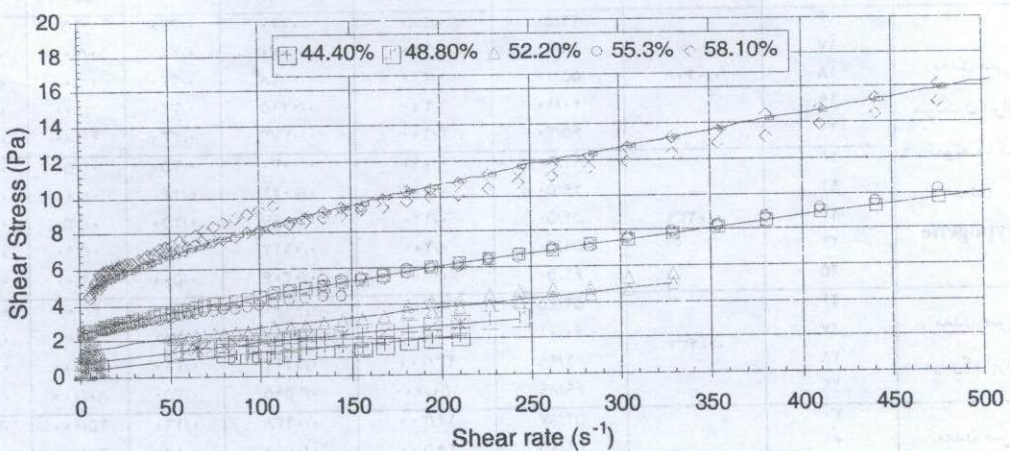
| محل اخذ نمونه | شماره نمونه | قطر متوسط ذرات جامد (D ₅₀) mm | درصد جامد (C%) | تنش برشی جاري شدن (Pa) | لزجت پلاستيك (Pa.s) | پارامترهاي مدل Herschel-Bulkley | | |
|---|-------------|---|-------------------|------------------------------|---------------------------|------------------------------------|--------|----------------|
| | | | | | | n | K | R ² |
| معدن طلای کشور استرالیا | ۱ | ۰/۰۱۱۰۴ | ۴۴/۴۰ | ۰/۲۲۶ | ۰/۰۰۷۲ | ۰/۸۰۹ | ۰/۰۲۴ | ۰/۹۹۵ |
| | ۲ | | ۴۸/۸۰ | ۰/۷۷۷ | ۰/۰۰۸۵ | ۰/۸۰۹ | ۰/۰۲۸ | ۰/۹۹۴ |
| | ۳ | | ۵۲/۲۰ | ۱/۳۵۰ | ۰/۰۱۱۴ | ۰/۸۰۹ | ۰/۰۳۳ | ۰/۹۷۳ |
| | ۴ | | ۵۵/۳۰ | ۲/۱۸۰ | ۰/۰۱۶۳ | ۰/۸۰۹ | ۰/۰۵۰ | ۰/۹۹۳ |
| | ۵ | | ۵۸/۱۰ | ۳/۹۶۰ | ۰/۰۱۸۸ | ۰/۸۰۹ | ۰/۰۸۵ | ۰/۹۸۴ |
| معدن مس - سنگ نمونه سنگ معدن Supergene | ۶ | ۰/۰۴۷۱ | ۴۰/۰۰ | ۰/۴۰۰ | ۰/۰۱۰۵ | ۰/۳۵۰ | ۰/۳۰۰ | ۰/۹۴۵ |
| | ۷ | | ۴۹/۹۰ | ۱/۳۸۰ | ۰/۰۱۴۰ | ۰/۳۰۰ | ۱/۱۰۰ | ۰/۹۲۶ |
| | ۸ | | ۵۰/۰۰ | ۱/۴۰۰ | ۰/۰۱۷۳ | ۰/۳۰۰ | ۲/۲۰۰ | ۰/۹۳۳ |
| | ۹ | | ۶۱/۰۰ | ۲/۱۵۰ | ۰/۰۲۸۶ | ۰/۳۰۰ | ۳/۶۰۰ | ۰/۹۰۶ |
| | ۱۰ | | ۶۶/۰۰ | ۴/۱۰۰ | ۰/۰۰۱۳ | ۰/۳۱۰ | ۷/۰۰۰ | ۰/۹۷۰ |
| | ۱۱ | ۰/۰۲۵۸ | ۴۵/۰۰ | ۰/۰۰۵۰ | ۰/۰۰۵۲ | ۰/۲۰۰ | ۰/۳۰۰ | ۰/۹۶۵ |
| | ۱۲ | | ۵۰/۱۰ | ۰/۱۲۰ | ۰/۰۰۷۸ | ۰/۳۰۰ | ۰/۸۰۰ | ۰/۹۰۶ |
| | ۱۳ | | ۵۵/۱۰ | ۰/۳۸۰ | ۰/۰۱۴۱ | ۰/۳۲۰ | ۱/۱۰۰ | ۰/۹۳۴ |
| | ۱۴ | | ۶۰/۲۰ | ۰/۳۸۰ | ۰/۰۱۷۶ | ۰/۳۰۰ | ۱/۱۰۰ | ۰/۹۷۷ |
| | ۱۵ | | ۶۴/۱۰ | ۴/۶۰۰ | ۰/۰۰۴۹۴ | ۰/۳۱۰ | ۰/۵۰۰ | ۰/۹۶۲ |
| معدن مس - سنگ نمونه سنگ معدن Hypogene | ۱۶ | ۰/۰۴۰۸ | ۴۴/۰۰ | ۰/۱۸۰ | ۰/۰۰۴۰ | ۰/۳۴۰ | ۰/۱۵۰ | ۰/۹۸۲ |
| | ۱۷ | | ۴۹/۹۰ | ۰/۳۸۰ | ۰/۰۰۷۰ | ۰/۳۵۰ | ۰/۳۰۰ | ۰/۹۶۹ |
| | ۱۸ | | ۵۰/۱۰ | ۱/۱۴۰ | ۰/۰۱۱۸ | ۰/۳۳۰ | ۰/۸۰۰ | ۰/۹۷۷ |
| | ۱۹ | | ۶۰/۱۰ | ۱/۱۷۰ | ۰/۰۲۱۵ | ۰/۳۳۰ | ۱/۱۰۰ | ۰/۹۵۸ |
| | ۲۰ | | ۶۵/۳۰ | ۳/۱۰۰ | ۰/۰۰۷۳ | ۰/۳۳۰ | ۴/۱۰۰ | ۰/۹۷۰ |
| | ۲۱ | ۰/۰۲۳۹ | ۴۴/۲۰ | ۰/۰۱۰ | ۰/۰۰۳۰ | ۰/۴۵۰ | ۰/۰۵۰ | ۰/۹۲۳ |
| | ۲۲ | | ۴۹/۰۰ | ۰/۱۰۰ | ۰/۰۰۴۱ | ۰/۴۴۰ | ۰/۱۰۰ | ۰/۹۱۷ |
| | ۲۳ | | ۵۴/۰۰ | ۰/۱۲۰ | ۰/۰۰۷۸ | ۰/۴۵۰ | ۰/۱۳۰ | ۰/۹۷۶ |
| | ۲۴ | | ۵۹/۶۰ | ۰/۲۰۰ | ۰/۰۱۲۲ | ۰/۴۸۰ | ۰/۲۹۰ | ۰/۹۷۱ |
| | ۲۵ | | ۶۴/۰۰ | ۰/۰۸۰۰ | ۰/۰۰۳۰۶ | ۰/۵۰۰ | ۰/۸۰۰ | ۰/۹۷۴ |
| معدن مس - معدن Hypogene | ۲۶ | ۰/۰۴۳۴ | ۵۴/۹۵ | ۳/۷۰۰ | ۰/۰۲۲ | ۰/۲۰۰ | ۴/۰۰۰ | ۰/۹۱۳ |
| | ۲۷ | | ۶۰/۰۱ | ۱۱/۲۰۰ | ۰/۰۴۱۲ | ۰/۲۸۰ | ۶/۰۰۰ | ۰/۹۱۱ |
| | ۲۸ | | ۶۴/۹۹ | ۲۳/۰۰۰ | ۰/۱۴۱۲ | ۰/۳۱۰ | ۲۲/۰۰۰ | ۰/۹۶۷ |
| | ۲۹ | | ۶۹/۸۹ | ۱۵۰/۰۰۰ | ۰/۰۵۹۵ | ۰/۳۵۰ | ۸۰/۰۰۰ | ۰/۹۰۴ |
| | ۳۰ | | ۵۴/۸۷ | ۱۴/۲۰۰ | ۰/۰۴۴۸ | ۰/۱۲۰ | ۲۰/۰۰۰ | ۰/۹۰۲ |
| معدن مس - سرچشم‌های ایران | ۳۱ | ۰/۰۳۴۵ | ۵۸/۰۵ | ۲۸/۰۰۰ | ۰/۰۶۵۶ | ۰/۱۵۰ | ۳۲/۰۰۰ | ۰/۹۳۶ |
| | ۳۲ | | ۶۰/۹۱ | ۴۲/۰۰۰ | ۰/۱۱۲۸ | ۰/۲۰۰ | ۴۳/۰۰۰ | ۰/۹۵۳ |
| | ۳۳ | | ۶۳/۹۲ | ۵۱/۰۰۰ | ۰/۲۱۱۱ | ۰/۲۲۰ | ۷۰/۰۰۰ | ۰/۹۴۷ |

مطالعات مهندسی رسوب، از لزجت فاز مایع (آب) در تحلیل جریان دوغابها استفاده شود، ممکن است به نتایج کاملاً گمراه‌کننده‌ای منجر شود (Pirouz et al., 2005). شکل ۱۲ تغییرات تنفس تسليم و لزجت پلاستیک دوغاب را با غلظت نشان می‌دهد. همانطور که ملاحظه می‌شود، برای تمامی دوغابهای مورد مطالعه، با افزایش غلظت دوغاب، تنفس تسليم و لزجت پلاستیک دوغاب به طور چشمگیری افزایش می‌یابد.

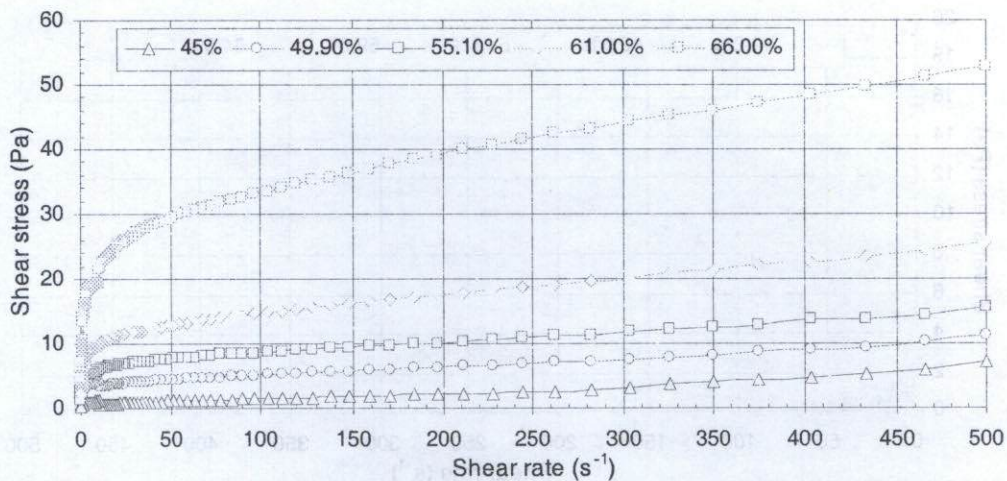
مقادیر به دست آمده برای لزجت پلاستیک دوغابها (شبیه بخش خطی) - که در واقع لزجت سیال در حال حرکت است - مقدار لزجت این سیالات را بسته به غلظت دوغاب از ۳ تا ۷۵۰ برابر لزجت دینامیک آب در دمای ۲۰ درجه سانتیگراد ($0/001 \text{ Pa.s}$) برآورد می‌کند. توجه به این نکته در تحلیل جریان دوغابها (جریان رویاز یا تحت فشار) و محاسبه پارامترهای جریان مانند عدد رینولدز جریان، بسیار حائز اهمیت است، به طوری که اگر بدون توجه به این موضوع و مطابق روش معمول در



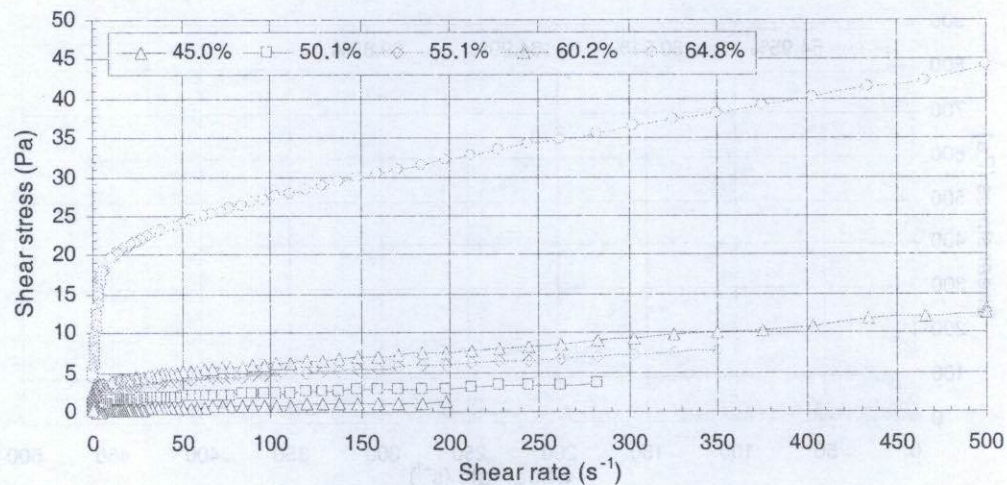
شکل ۳ منحنی دانه‌بندی نمونه‌های دوغاب



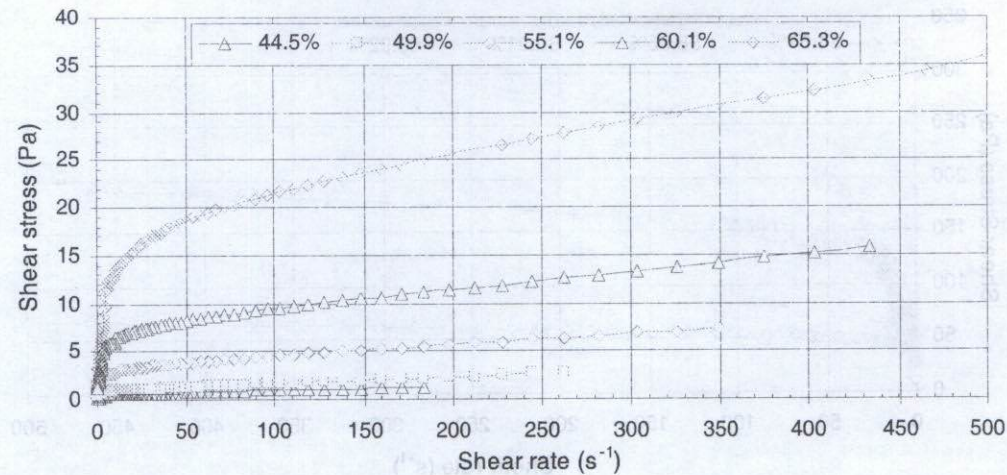
شکل ۴ رئوگرام نمونه‌های دوغاب معدن طلای Peak



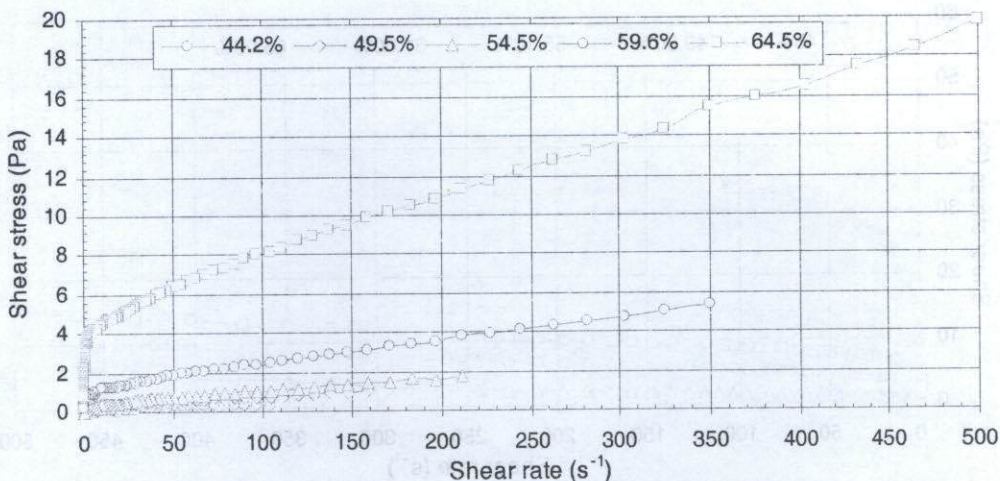
شکل ۵ رئوگرام نمونه‌های دوغاب معدن مس سونگون (نمونه Supergene) ($D_{50} = 0.0471\text{mm}$)



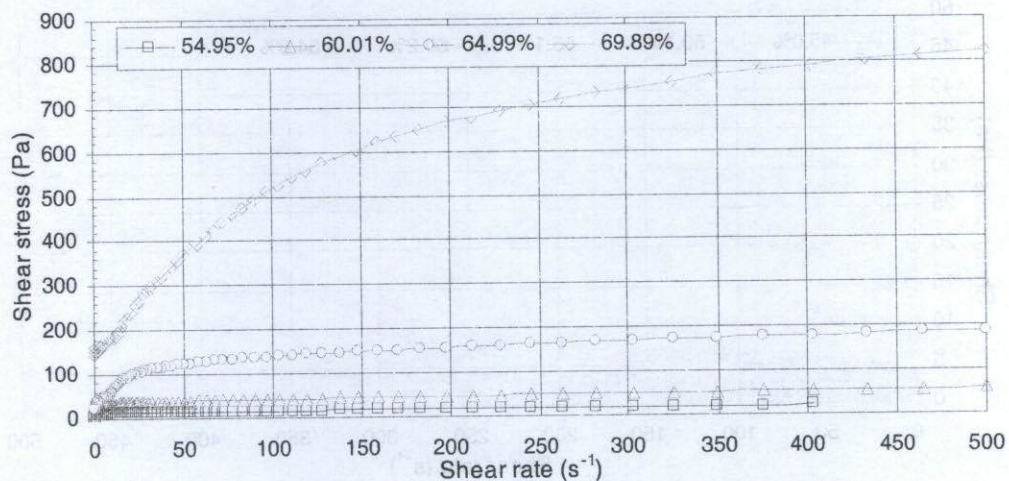
شکل ۶ رئوگرام نمونه‌های دوغاب معدن مس سونگون (نمونه Supergene) ($D_{50} = 0.0258\text{mm}$)



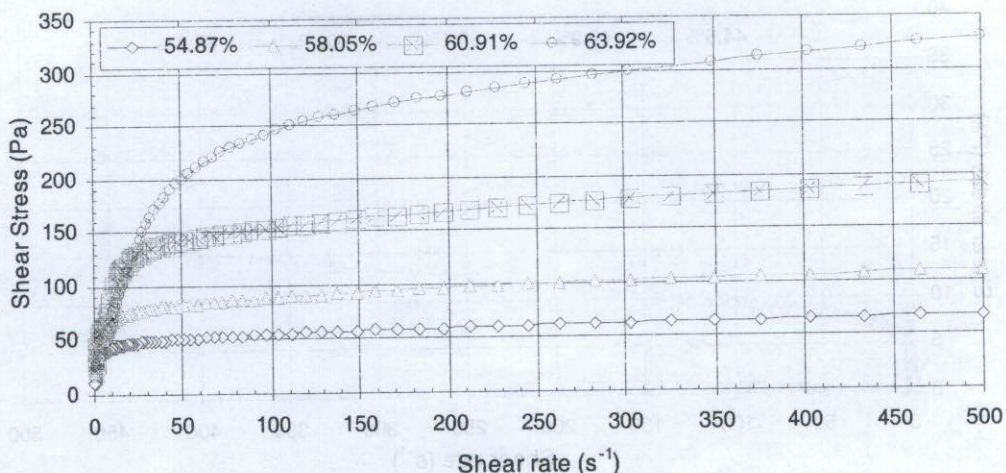
شکل ۷ رئوگرام نمونه‌های دوغاب معدن مس سونگون (نمونه Hypogene) ($D_{50} = 0.0408\text{mm}$)



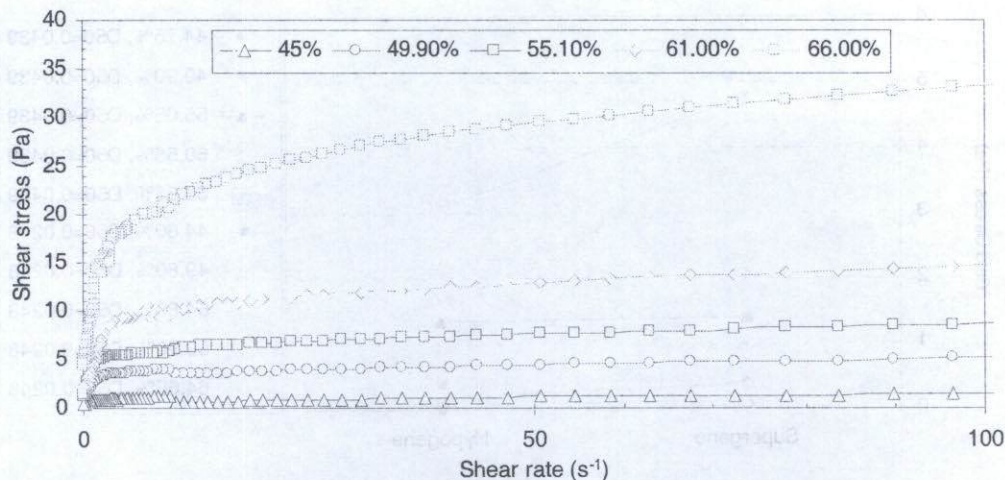
شکل ۸ رئوگرام نمونه‌های دوغاب معدن مس سونگون (نمونه Hypogene) ($D_{50} = 0.0239\text{mm}$)



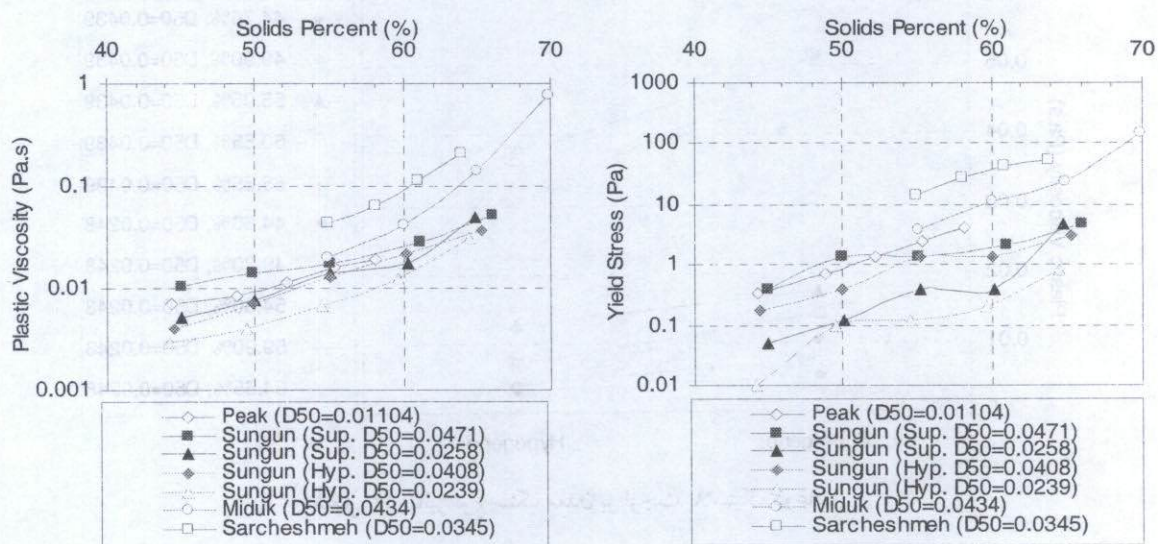
شکل ۹ رئوگرام نمونه‌های دوغاب معدن مس میدوک



شکل ۱۰ رئوگرام نمونه‌های دوغاب معدن مس سرچشم



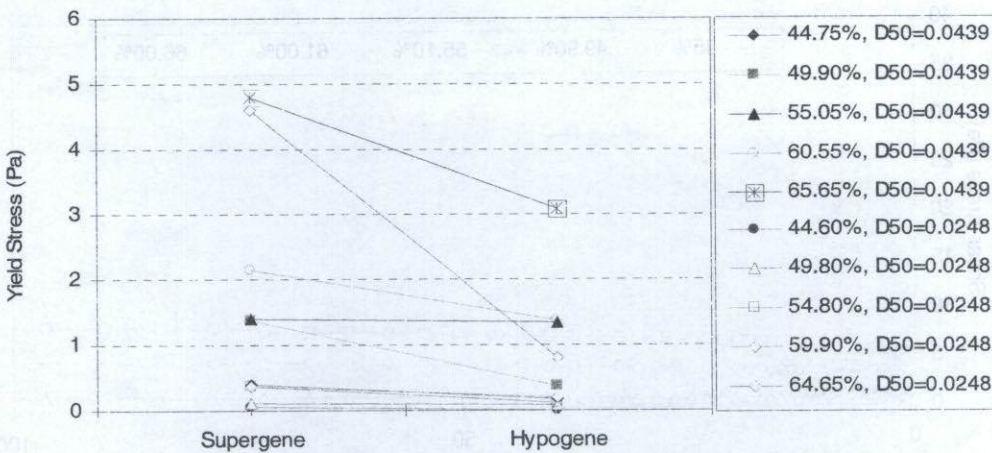
شکل ۱۱ تصویر بزرگنمایی شده بخش ابتدایی رئوگرامهای شکل (۵)



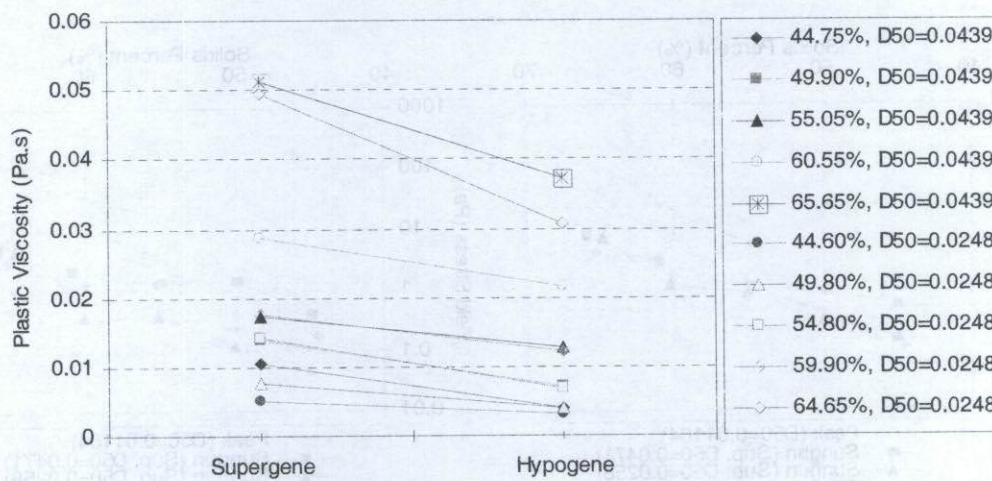
شکل ۱۲ تغییرات تنش تسلیم و ویسکوزیته پلاستیک دوغاب با غلظت

نتیجه‌گیری می‌شود که رفتار رئولوژی دوغابها وابستگی شدیدی به نوع کانی و مینرالوژی سنگ معدن به کار رفته در تولید دوغاب دارد. به طوری که تنش برشی تسلیم و لزجت دو نوع دوغاب کاملاً مشابه از نظر دانه‌بندی و غلظت، بسته به نوع سنگ معدن (وجود ذرات ریز چسبنده)، می‌تواند بسیار متفاوت بوده و در مواردی حتی تا چند ده برابر اختلاف داشته باشد.

شکلهای ۱۳ و ۱۴ مقایسه نمونه‌های Hypogene و Supergene معدن مس سونگون را نشان می‌دهد. همانطور که ملاحظه می‌شود در یک دانه‌بندی بخصوص، وجود مواد ریزدانه چسبنده-نظیر رس در دوغاب (نمونه Supergene)- موجب افزایش نسبتاً چشمگیری در تنش برشی تسلیم سیال و لزجت آن می‌شود. علت این پدیده وجود ذرات ریزدانه چسبنده رس در نمونه سنگ معدن است (دوغابهای رس حتی در غلظتها پایین بشدت لرج هستند). از شکلهای ۱۳ و ۱۴ چنین



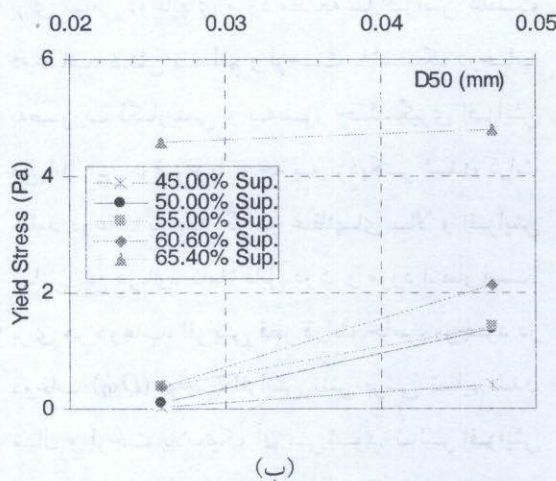
شکل ۱۳ تأثیر نوع سنگ معدن بر تنش تسليم دوغاب



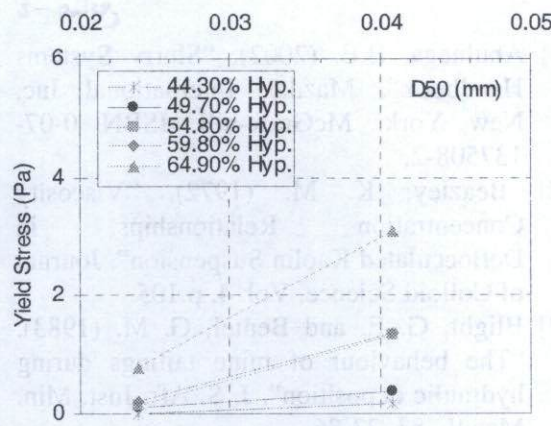
شکل ۱۴ تأثیر نوع سنگ معدن بر لزجت پلاستیک دوغاب

۱۵ در شکلهای ۱۵-الف و ۱۶-الف و همچنین ۰٪۴۴/۳ در شکلهای ۱۵-ب و ۱۶-ب می‌توان نتیجه گرفت که میزان تأثیر افزایش D_{50} بر افزایش تنش تسليم و لزجت سیال با افزایش غلظت دوغاب، از روند خاصی پروری نمی‌کند، به طوری که در نمونه‌های Supergene افزایش غلظت دوغاب، در ابتدا موجب تشدید اثر D_{50} شده و سپس اثر کاهشی داشته است، در حالی که در نمونه‌های Hypogene با افزایش غلظت دوغاب، اثر D_{50} همواره تشدید شده است.

همانطورکه پیشتر نیز ذکر شد بهمنظور بررسی تأثیر قطر متوسط ذرات جامد دوغاب بر رفتار رئولوژی آنها، نمونه‌های مختلفی از دوغاب معدن مس سونگون (Supergene و Hypogene) با D_{50} های مختلف تهیه شد. شکلهای ۱۵ و ۱۶ تأثیر قطر متوسط ذرات جامد موجود در دوغاب را بر مقدار تنش تسليم دوغاب و همچنین لزجت پلاستیک آن نشان می‌دهند. ملاحظه می‌شود که افزایش قطر ذرات جامد موجود در دوغاب (D_{50}) در غلظتها مختلف دوغاب، موجب افزایش تنش برشی جاری شدن سیال و لزجت سیال می‌شود. همچنین از مقایسه شبیه مربوط به غلظت ۰٪۶۴/۹ و غلظت

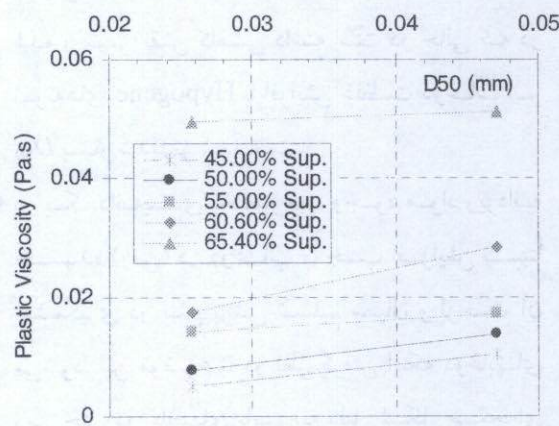


(ب)

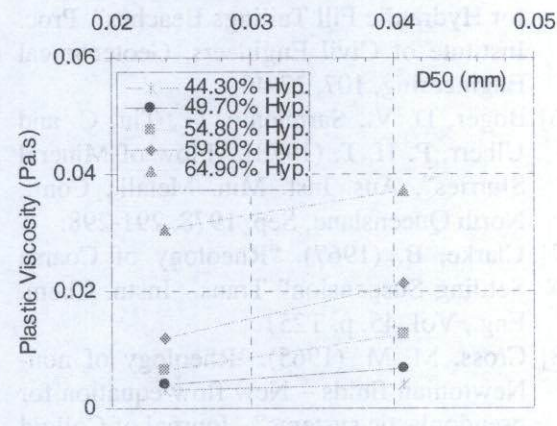


(الف)

شکل ۱۵ تأثیر قطر متوسط ذرات جامد بر تنش تسلیم دوغاب



(ب)



(الف)

شکل ۱۶ تأثیر قطر متوسط ذرات جامد بر لزجت پلاستیک دوغاب

سیالات شبیه پلاستیک جاری شونده است. اگرچه در تغییر شکلهای بزرگ (نرخ کرنشهای بزرگتر از 100 s^{-1}) رفتار این دوغابها بخوبی با مدل خطی پلاستیک بینگهام قابل تخمین است ولیکن در نرخ تنشهای کوچکتر از 100 s^{-1} رفتار تمامی غلظتها دوغابهای مورد آزمایش به شکل سهمی بوده و با مدل خطی بینگهام قابل تخمین نیست. به طوری که بهترین مدل قابل انطباق بر رفتار رئولوژی دوغابهای مس (که بتواند رفتار دوغاب را در نرخ برشهای کم و زیاد تخمین بزنند) مدل Herschel-Buckley است.

۳- نتیجه‌گیری

با بررسی نتایج حاصل از آزمایش‌های انجام شده بر روی نمونه‌های مختلف دوغابها و مقادیر به دست آمده برای لزجت و تنش تسلیم این دوغابها، نتایج ذیل استخراج می‌شود:

- رفتار رئولوژی تمامی دوغابهای مورد آزمایش (در محدوده غلظتها ۴۵٪ تا ۷۰٪) به صورت یک تنش برشی اولیه برای تسلیم سیال و سپس ادامه یافتن رئوگرام به صورت سهمی است که بیانگر تبعیت رفتار Herschel-Buckley برای این دوغابها از مدل Herschel-Buckley است.

۴- منابع

- [1] Abulnaga, B.E. (2002). "Slurry Systems Handbook". Mazdak International Inc. New York: McGraw-hill. ISBN 0-07-137508-2.
- [2] Beazley, K. M. (1972). "Viscosity Concentration Relationships in Deflocculated Kaolin Suspension". *Journal of Colloid Science*, Vol. 4. p.105.
- [3] Blight, G. E. and Bentel, G. M. (1983). "The behaviour of mine tailings during hydraulic deposition". *J. S. Afr. Inst. Min. Metall.*, 83, 73-86.
- [4] Blight, G. E. (1988). "Some Less Familiar Aspects of Hydraulic Fill Construction". Proc. ASCE Spec. Conf. on Hydraul. Fill Structures, Denver, Colorado, 1000-1027.
- [5] Blight, G. E. (1994). "The Master Profile for Hydraulic Fill Tailings Beaches". Proc. Institute of Civil Engineers, Geotechnical Engineering, 107, 27-40.
- [6] Boger, D. V., Sarmiento, G., Tiu, C. and Ulherr, P. H. T. (1978). "Flow of Mineral Slurries". Aus. Inst. Min. Metall., Conf., North Queensland, Sep. 1978, 291-298.
- [7] Clarke, B. (1967). "Rheology of Coarse Settling Suspension" *Trans. Instn. Chem. Eng.*, Vol. 45. p. T251.
- [8] Cross, M. M. (1965). 'Rheology of non-Newtonian fluids – New flow equation for pseudoplastic systems". *Journal of Colloid Science*, 20, 417.
- [9] Govier, G. W., and K. Aziz. (1972). "The Flow of Complex Mixtures in Pipe". New York: Van Nostrand Reinhold.
- [10] Hansford, G. S., Levy, C. D. and De Kock, J. W. (1976). Rheological Measurement on Pulps From South African Gold Mines. *J. S. Afr. Inst. Min. Metall.*, 76, 8, 363-369.
- [11] Heywood, N. I. (1991). "Rheological Characteristics of Non-Settling Slurries". In *Slurry Handling*, Edited by N. P. Brown and N. I. Heywood. New York: Elsevier Applied Sciences.
- [12] Levy, C. D. A. (1975). "A Rheological Investigation of Three South African Gold Mine Pulps". MSc. (Eng) thesis. University of Cape Town, South Africa.
- [13] Marsden, D. D. (1962). "The Effect Of Ph, Temperature and Density on The Kinematic Viscosity of Some South

• برای تمامی دوغابهای مورد مطالعه با افزایش غلظت دوغاب، تنش تسليم و لزجت پلاستیک دوغاب به صورت لگاریتمی و به طور چشمگیری افزایش می یابد. این موضوع با توجه به نزدیکتر شدن ذرات جامد دوغاب به یکدیگر در غلظتهای بالا و افزایش تماس بین ذرهای، کاملاً قابل درک و مورد انتظار است.

• برای هر دوغاب، افزایش قطر ذرات جامد موجود در دوغاب (D_{50}) موجب افزایش تنش برشی تسليم شدن سیال و لزجت پلاستیک آن می شود. تأثیر افزایش غلظت دوغاب بر میزان اثرگذاری D_{50} از روند خاصی پیروی نمی کند، به طوری که در نمونه های Supergene افزایش غلظت دوغاب در ابتدا موجب تشدید اثر D_{50} شده و سپس نقش کاهشی داشته است در حالی که در نمونه های Hypogene با افزایش غلظت دوغاب اثر D_{50} بسیار شدیدتر شده است.

• در یک دانه بندی بخصوص، وجود مواد ریزدانه چسبنده (رس) در دوغاب موجب افزایش نسبتاً چشمگیری در تنش برشی تسليم سیال و لزجت آن می شود. این موضوع با در نظر گرفتن اینکه دوغابهای رس حتی در غلظتهای پایین (به دلیل شکل صفحه ای ذرات و نیروی جاذبه الکترویکی بین ذرهای) بسیار لزج هستند، قابل درک و توجیه است.

• برای به حرکت در آوردن و انتقال دوغابهای معدنی غلیظ و همگن، لازم است بر تنش برشی جاری شدن سیال غلبه شود. بنابراین در طراحی کانالهای باز برای انتقال و حمل دوغابها ضروری است مقدار این حداقل تنش برشی (حداقل شیب کانال) مورد توجه دقیق و کافی قرار گیرد، زیرا بر خلاف سیالات نیوتونی مانند آب، در سیالات غیر نیوتونی برای مقادیر کمتر از این شیب، هیچگونه جریانی ایجاد نخواهد شد.

- [17] Sofra F., Boger D. V., (2000). "Slope Prediction for Thickened Tailings and Pastes". Proceeding of 7th International Conference on Tailings and Mine Waste, Fort Collins, Colorado.
- [18] Sofra F., Boger D. V., (2002). "Planning Design and Implementation Strategy for Thickened Tailings Pastes". Proceeding of 9th International Conference on Tailings and Mine Waste, Fort Collins, Colorado.
- [19] Wilson, K. C. 1991. "Slurry Transport in Flumes". I Hydrotransport: In slurry handling and pipeline transport. Edited by N. P. Brown and N. I. Heywood. New York: Elsevier Applied Sciences.
- [20] Pirouz B., Kavianpour M.R., Williams P., (2005). "Thickened Tailings Beach Deposition. Field Observations and Full-Scale Flume Testing". Paste 2005, International Seminar on Paste and Thickened Tailings, Santiago, Chile.
- [21] Simons D. B. and Senturk F., (1992). "Sediment Transport Technology", ISBN 0918334667, Water Resources Publications, Colorado USA.